

# یک روش پنهان‌شکنی مبتنی بر الگوریتم F-Score + SVM برای تصاویر پنهان‌نگاری شده در حوزه تبدیل موجک

حیدر باجلان<sup>۱</sup>، محمد پویان<sup>۲</sup>

<sup>۱</sup> دانشکده مهندسی برق، پزشکی و مکترونیک، دانشگاه آزاد اسلامی واحد قزوین، قزوین  
h.bajalan@qiau.ac.ir

<sup>۲</sup> دانشکده مهندسی، دانشگاه شاهد، تهران  
pooyan@shahed.ac.ir

## چکیده

در این مقاله، یک روش پنهان‌شکنی برای تصاویر پنهان‌نگاری شده در حوزه موجک پیشنهاد می‌شود. در روش پیشنهاد شده، تصویر مورد آزمایش توسط تبدیل موجک گسسته‌ها سه سطحی به ۱۳ زیرباند تجزیه می‌شود (تصویر اصلی به عنوان زیرباند LL0 در نظر گرفته می‌شود). سپس هیستوگرام‌های مرتبه دوم افقی، عمودی، قطری و قطری آینه‌ای از هر زیرباند ساخته می‌شوند. سه مرتبه اول (مراتب اول، دوم و سوم) از دو نوع گشتاور تابع مشخصه حاشیه‌ای در دو جهت فرکانسی برای هر ماتریس هیستوگرام مرتبه دوم محاسبه می‌شوند. بردار ویژگی بدست آمده برای هر زیرباند دارای ۲۴ بعد می‌باشد. بردار ویژگی کل بدست آمده دارای ۳۱۲ بعد است. بدلیل زیاد بودن ابعاد بردار ویژگی، بوسیله الگوریتم انتخاب ویژگی F-Score + SVM تغییر یافته (که ترکیبی از تکنیک رتبه-بندی فیشر و ماشین بردار پشتیبان می‌باشد)، تعداد ویژگی‌ها کاهش می‌یابد و ویژگی‌های باقیمانده برای تشخیص تصاویر پنهان-نگاری شده از تصاویر پاک، به ماشین بردار پشتیبان داده می‌شوند. نتایج آزمایش‌ها نشان می‌دهد که الگوریتم پیشنهادی، نتایج آشکارسازی تکنیک‌های پنهان‌شکنی موجود، که بر روی تصاویر پنهان‌نگاری شده در حوزه موجک آزمایش شده‌اند را بهبود می‌دهد.

## کلمات کلیدی

پنهان‌شکنی، پنهان‌نگاری، گشتاورهای تابع مشخصه، تبدیل موجک، الگوریتم F-Score + SVM

دیدگاهی دیگر الگوریتم‌های پنهان‌نگاری به دو گروه تقسیم می‌شوند. دسته اول از آنها تکنیک‌های حوزه مکان نام دارند که به طور مستقیم به سیگنال اعمال می‌شوند. دسته دوم دیگر تکنیک‌های حوزه تبدیل نام دارند که بر روی تبدیل یافته سیگنال اعمال می‌شوند. تکنیک‌های حوزه تبدیل مختلف، تبدیل فوری به گسسته (DFT)، تبدیل کسینوسی گسسته (DCT) و تبدیل موجک گسسته (DWT) می‌باشند [1].

در روش‌های پنهان‌نگاری در حوزه تبدیل موجک، پنهان‌سازی در ضرایب موجک تصویر انجام می‌شود. با ذخیره سازی اطلاعات در ضرایب موجک، تغییر در شدت روشنایی تصویر غیر قابل مشاهده خواهد بود. در روش پنهان‌نگاری ارائه شده توسط یانگ و دنگ ابتدا تبدیل آرنولد بر روی تصویر

## ۱ - مقدمه

در پنهان‌نگاری<sup>۱</sup> دیجیتال، محیط دیجیتالی برای رمزگذاری و پنهان کردن دنباله ای از بیت‌های پیام، به گونه ای اصلاح می‌شود که ارتباط مخفی مورد شک قرار نگیرد. در پنهان‌شکنی<sup>۲</sup> دیجیتال، سعی می‌شود این نوع ارتباط پوشیده تشخیص داده شود [4]. روش‌های پنهان‌شکنی می‌توانند به روش‌های فعال و روش‌های غیر فعال تقسیم شوند. پنهان‌شکنی غیر فعال به تشخیص وجود یا عدم وجود پیام مخفی در تصویر می‌پردازد. پنهان‌شکنی فعال اقدام به تخمین طول پیام، بیت‌های پیام، کلید رمز و ... می‌کند [12]. از

رمز انجام می شود. سپس تبدیل موجک بر روی تصویر پوشانه و تصویر رمز تبدیل یافته اعمال می شود. ضرایب تبدیل موجک تصویر رمز کوانتیزه شده و داخل رشته های بیتی کد می شوند. سپس هر جزء از ضرایب تبدیل موجک (ضرایب تقریب، جزئیات افقی، جزئیات عمودی و جزئیات قطری) از تصویر رمز بوسیله الگوریتم بیت با کمترین ارزش، داخل ضرایب متناظر تبدیل موجک تصویر پوشانه اضافه می شوند [13].

خسروی و همکاران یک تکنیک پنهان نگاری جدید بر پایه ترکیب یک روش اشتراک رمز و تبدیل موجک را ارائه کردند. در این روش یک تصویر رمز به چند اشتراک (سهام) تقسیم می شود. سپس اشتراک ها و جمع کنترلی فلتچر-۱۶ از اشتراک ها با استفاده از یک تکنیک پنهان نگاری بر مبنای موجک صحیح داخل تصاویر پوشانه مخفی می شوند. در بخش کدگشایی تصاویر پنهان نگاری شده، برای بازیابی سهم ها و در نتیجه بازیابی تصویر رمز بکار می روند. این روش پنهان نگاری در برابر حملات جدی نظیر RS و روش های پنهان شکنی آموزشی تحت نظارت، پایدار است [7].

یک روش پنهان نگاری بر مبنای موجک جدید، با استفاده از الگوریتم-های حذف نویز بوسیله آستانه گذاری ضرایب موجک توسط معتمدی و جعفری ارائه شد. در حقیقت داده رمز در اجزاء نویزی از محیط پوشانه مخفی می شود. این روش یک آستانه را بر اساس ضرایب موجک تصویر پوشانه، جهت تعیین اجزاء نویزی، محاسبه می کند. این روش ظرفیت داده پنهان شده را افزایش داده و کیفیت دیداری خوبی برای تصویر گنجانده دارد. در ضمن داده اضافه شده می تواند بدون مراجعه به تصویر اصلی از تصویر گنجانده، استخراج شود. این روش مقاومت بالایی در مقابل حملات پنهان شکنی دارد [9].

برای الگوریتم های پنهان نگاری در هر حوزه، تکنیک های پنهان شکنی خاصی ارائه شده است. فرید، یک روش پنهان شکنی پیشنهاد کرد که در آن تصویر را در حوزه موجک تجزیه نمود. وی در این روش آماره های مرتبه بالاتر (میانگین، واریانس، خمیدگی و درجه اوج نمودار آماری) از تابع چگالی احتمال هر زیر باند موجک را استخراج کرد. همچنین این ویژگی ها از زیرباندهای موجک تصویر خطای پیشگویی شده استخراج می شوند. سپس یک طبقه بندی کننده خطی فیشر برای تمایز بین تصاویر پنهان نگاری شده و تصاویر پاک استفاده شد [5]. لیو و فرید ماشین بردار پشتیبان (SVM) را به عنوان دسته بندی کننده در روش فرید به کار بردند [6]. شی، یک روش پنهان شکنی را ارائه کرد که در آن ویژگی های انتخاب شده شامل گشتاورهای آماری توابع مشخصه تصویر اصلی، تصویر خطای پیشگویی شده و زیرباندهای تبدیل موجک آنها می باشد. دسته بندی کننده انتخاب شده، شبکه عصبی مصنوعی است [11].

چن و همکاران با استفاده از هیستوگرام مراتب بالا، یک الگوریتم پنهان شکنی فراگیر ارائه کردند. در این الگوریتم بر روی مقادیر قدرمطلق ضرایب تبدیل کسینوسی گسسته بلوکی آرایه دو بعدی JPEG تصویر ورودی، تبدیل موجک هار سه سطحی اعمال می شود. سپس برای هر زیرباند، هیستوگرام های مرتبه دوم افقی، عمودی و قطری ساخته می شوند. سرانجام برای هر هیستوگرام مرتبه دوم، گشتاورهای تابع مشخصه دو بعدی محاسبه می شوند. سپس ماشین بردار پشتیبان با کرنل چند جمله ای درجه دوم به عنوان دسته بندی کننده استفاده می شود [2]. هان زنگ و همکاران، با استفاده از ماتریس هیستوگرام مرتبه دوم قطری آینه ای از هر زیر باند موجک

تصویر، یک روش پنهان شکنی فراگیر را ارائه کردند. در این روش تبدیل لاپلاس بر روی ماتریس های هیستوگرام مرتبه دوم اعمال می شود. سپس واریانس های تبدیل های لاپلاس و گشتاورهای تابع مشخصه هیستوگرام های مرتبه دوم بعنوان ویژگی های آماری استخراج می شوند. سپس شبکه عصبی پس انتشار خطا برای دسته بندی و آشکارسازی انتخاب می شود [14]. این الگوریتم ها تعداد کمی از هیستوگرام های مرتبه دوم ضرایب زیرباندهای موجک مجاور را استفاده می کنند.

پنهان شکنی بر مبنای گشتاورهای آماری توابع مشخصه موجک، توانایی تمییم ضعیفی در برخی حوزه ها دارد. در روش پنهان شکنی کور ژانگ و ژنگ برای بهبود این ضعف، روش انتخاب ویژگی SVM + F-Score برای فیلتر کردن ویژگی های زائد و غیر ضروری محاسبه شده از گشتاورهای آماری توابع مشخصه موجک بکار گرفته شد. روش انتخاب ویژگی SVM + F-Score ترکیبی از تکنیک F-Score و ماشین بردار پشتیبان می باشد. تکنیک F-Score، یک تکنیک ساده اما مؤثر برای اندازه گیری جدایی دو مجموعه از اعداد است [15].

روش های پنهان شکنی موجود اعمال شده بر روی تصاویر پنهان نگاری شده در حوزه تبدیل موجک، نرخ آشکارسازی بالایی را بدست نیاورده اند. یکی از دلایل این امر، آن است که اکثر روش های پنهان نگاری در حوزه موجک، پیام را در ضرایب زیرباندهای جزئیات تبدیل موجک مخفی می کنند که تغییر در ضرایب این زیر باندها تأثیر ناچیزی روی تصویر دارند.

در این مقاله یک روش پنهان شکنی غیر فعال برای تصاویر پنهان نگاری شده در حوزه تبدیل موجک با نرخ آشکارسازی بالاتر پیشنهاد می شود. در روش پیشنهاد شده، تصویر مورد آزمایش توسط تبدیل موجک گسسته هار سه سطحی به ۱۳ زیرباند تجزیه می شود (تصویر اصلی به عنوان زیرباند L0 در نظر گرفته می شود). سپس هیستوگرام های مرتبه دوم افقی، عمودی، قطری و قطری آینه ای از هر زیرباند ساخته می شوند. سه مرتبه اول (مراتب اول، دوم و سوم) از دو نوع گشتاور تابع مشخصه حاشیه ای در دو جهت فرکانسی برای هر ماتریس هیستوگرام مرتبه دوم محاسبه می شوند. در این روش، بدلیل زیاد بودن ابعاد بردار ویژگی، بوسیله الگوریتم انتخاب ویژگی SVM + F-Score تغییر یافته (که دارای روش اعتبارسنجی متفاوتی با الگوریتم SVM + Score بکار رفته در روش ژانگ و ژنگ است) تعداد ویژگی ها کاهش می یابد و ویژگی های باقیمانده برای تشخیص تصویر پنهان نگاری شده از تصویر پاک، به ماشین بردار پشتیبان داده می شوند.

این الگوریتم، نسبت به الگوریتم های پنهان شکنی موجود، تعداد هیستوگرام های مرتبه دوم بیشتری از ضرایب زیرباندهای موجک مجاور را استفاده می کند. از سویی دیگر، الگوریتم انتخاب ویژگی SVM + F-Score باعث می شود ویژگی های با تأثیر بیشتر انتخاب شوند. در نتیجه انتظار می رود نرخ آشکارسازی افزایش یابد. نتایج آزمایش ها نشان می دهد که الگوریتم پیشنهادی، نتایج آشکارسازی تکنیک های پنهان شکنی موجود اعمال شده بر روی تصاویر پنهان نگاری شده در حوزه موجک را بهبود می دهد.

ادامه این مقاله به صورت زیر سازماندهی می شود. در بخش دوم روش پیشنهادی معرفی می شود. این بخش شامل مفاهیم نظری مورد استفاده در الگوریتم پنهان شکنی پیشنهاد شده، طرح مسأله، الگوریتم پنهان شکنی پیشنهادی برای پنهان شکنی از تصاویر پنهان نگاری شده در حوزه موجک و نتایج آزمایش ها است. در بخش سوم هم نتیجه گیری ارائه می شود.

## ۲- روش پیشنهادی

### ۲-۱- مفاهیم نظری

در این بخش دوم مفاهیم نظری مورد استفاده در الگوریتم پنهان‌شکنی پیشنهاد شده معرفی می‌شوند.

#### ۲-۱-۱- هیستوگرام مرتبه دوم

ماتریس هیستوگرام مرتبه دوم، معیاری از رخداد پیوستگی جفت‌هایی از پیکسل‌ها است که بوسیله فاصله و جهت مشخص شده از هم جدا شده‌اند. رابطه (۱) تعریف هیستوگرام مرتبه دوم را نشان می‌دهد.

$$h_d(j_1, j_2; \rho, \theta) = \frac{N(j_1, j_2; \rho, \theta)}{N_T(\rho, \theta)} \quad (1)$$

که  $\rho$  و  $\theta$  به ترتیب فاصله و زاویه نسبت به محور افقی هستند، عبارت صورت کسر یعنی  $N(j_1, j_2; \rho, \theta)$  تعداد جفت پیکسل‌ها می‌باشد به گونه‌ای که  $j_1$  مقدار پیکسل اول و  $j_2$  مقدار پیکسل دوم است و  $N_T(\rho, \theta)$  تعداد کل جفت پیکسل‌ها با جدایی  $(\rho, \theta)$  است [10].

#### ۲-۱-۲- گشتاورهای تابع مشخصه

اساساً هیستوگرام یک تصویر، تابع جرم احتمال تصویر است. از ضرب هر مؤلفه تابع جرم احتمال تصویر و یک ضربه واحد شیفت یافته مربوطه، تابع چگالی احتمال حاصل می‌شود. در مفهوم تبدیل فوریه گسسته بدیهی است که ضربه‌های واحد می‌توانند نادیده گرفته شوند. بنابراین تابع چگالی احتمال می‌تواند به عنوان نسخه نرمالیزه شده یک هیستوگرام در نظر گرفته شود. یک تفسیر از تابع مشخصه این است که تابع مشخصه تبدیل فوریه تابع چگالی احتمال است [8].

رابطه (۲) تعریف گشتاورهای تابع مشخصه یک هیستوگرام مرتبه اول را نشان می‌دهد:

$$M_n = \frac{\sum_{j=1}^N f_j^n |H(f_j)|}{\sum_{j=1}^N |H(f_j)|} \quad (2)$$

که  $H(f_j)$  مؤلفه تابع مشخصه در فرکانس  $f_j$ ،  $N$  تعداد نهایی نقاط در محور افقی هیستوگرام است و  $n$  مرتبه گشتاور را نشان می‌دهد. روابط (۳) و (۴) گشتاورهای تابع مشخصه یک هیستوگرام مرتبه دوم را نشان می‌دهند.

$$M_{u,n} = \frac{\sum_{j=1}^N \sum_{i=1}^N u_i^n |H(u_i, v_j)|}{\sum_{j=1}^N \sum_{i=1}^N |H(u_i, v_j)|} \quad (3)$$

$$M_{v,n} = \frac{\sum_{i=1}^N \sum_{j=1}^N v_j^n |H(u_i, v_j)|}{\sum_{i=1}^N \sum_{j=1}^N |H(u_i, v_j)|} \quad (4)$$

که  $H(u_i, v_j)$  مؤلفه تابع مشخصه دو بعدی در فرکانس  $(u_i, v_j)$  مربوط به تبدیل فوریه گسسته است و  $N$  تعداد نهایی مقادیر سطوح خاکستری تصویر است. همانطور که از روابط (۳) و (۴) ملاحظه می‌شود دو مجموعه گشتاور حاشیه‌ای مربوط به جهت‌های فرکانسی  $u$  و  $v$  را می‌توان بدست آورد [2].

## ۲-۱-۳- الگوریتم انتخاب ویژگی F-Score + SVM

در الگوریتم F-Score + SVM، از تکنیک F-Score بعنوان یک فیلتر برای انتخاب ویژگی و از ماشین بردار پشتیبان به عنوان دسته بندی‌کننده استفاده شده است. [3].

F-Score، یک تکنیک ساده است که جدایی (تفاوت) دو مجموعه از اعداد حقیقی را اندازه می‌گیرد. با توجه به بردار آموزشی  $u_k$  به ازای  $k = 1, \dots, m$ ، اگر  $n_+$  و  $n_-$  به ترتیب تعداد نمونه‌های مثبت و منفی باشند، مقدار F-Score مربوط به ویژگی شماره  $i$ ، طبق رابطه (۵) تعریف می‌شود.

$$F(i) = \frac{(\bar{u}_i^{(+)} - \bar{u}_i)^2 + (\bar{u}_i^{(-)} - \bar{u}_i)^2}{\frac{1}{n_+ - 1} \sum_{k=1}^{n_+} (u_{k,i}^{(+)} - \bar{u}_i^{(+)})^2 + \frac{1}{n_- - 1} \sum_{k=1}^{n_-} (u_{k,i}^{(-)} - \bar{u}_i^{(-)})^2} \quad (5)$$

که میانگین ویژگی شماره  $i$  از تمام مجموعه داده، مجموعه داده مثبت و مجموعه داده منفی به ترتیب با  $\bar{u}_i^{(+)}$ ،  $\bar{u}_i^{(-)}$  و  $\bar{u}_i$  نمایش داده شده است. همچنین  $\bar{u}_{k,i}^{(+)}$ ، ویژگی شماره  $i$  از نمونه مثبت شماره  $k$  است و  $\bar{u}_{k,i}^{(-)}$ ، ویژگی شماره  $i$  از نمونه منفی شماره  $k$  می‌باشد. صورت کسر، تمایز بین مجموعه‌های مثبت و منفی را مشخص می‌کند و مخرج کسر، تمایز درونی هر مجموعه را معین می‌کند. هر ویژگی که مقدار F-Score بزرگتری داشته باشد توانایی تمایز بالاتری دارد. بنابراین، F-Score را به عنوان یک معیار انتخاب ویژگی بکار می‌بریم [3].

الگوریتم F-Score + SVM، روشی ساده و کاملاً موثر برای انتخاب ویژگی است. ویژگی‌های با مقدار F-Score بالا انتخاب می‌شوند و سپس ماشین بردار پشتیبان برای آموزش و پیش بینی بکار می‌رود [3]. این فرایند در ادامه توضیح داده می‌شود.

## ۲-۲- طرح مسأله

روش‌های پنهان‌شکنی موجود اعمال شده بر روی تصاویر پنهان‌نگاری شده در حوزه تبدیل موجک، نرخ آشکارسازی بالایی را بدست نیاورده‌اند. یکی از دلایل این امر، آن است که اکثر روش‌های پنهان‌نگاری در حوزه موجک، پیام را در ضرایب زیرباند‌های جزئیات تبدیل موجک مخفی می‌کنند که تغییر در ضرایب این زیر باندها تأثیر ناچیزی روی تصویر دارند. برای تشخیص پنهان‌نگاری در این ضرایب می‌توان با استفاده از ابزارهای موجود نظیر ماتریس هیستوگرام مرتبه دوم ضرایب زیرباند‌های موجک مجاور و با در نظر گرفتن تعداد هیستوگرام‌های مرتبه دوم بیشتر، پیوستگی ضرایب مجاور را زیر نظر گرفت و به تشخیص تصاویر پنهان‌نگاری شده از تصاویر پاک پرداخت.

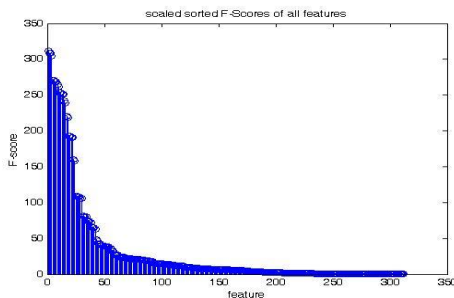
## ۲-۳- الگوریتم پنهان‌شکنی پیشنهادی

در این بخش یک الگوریتم پنهان‌شکنی برای تصاویر پنهان‌نگاری شده در حوزه موجک پیشنهاد می‌شود. در این الگوریتم، ابتدا یک پیش‌پردازش بر روی تصاویر مورد آزمایش انجام می‌شود که طی آن تصاویر ورودی به تصاویر سطح خاکستری با ابعاد  $512 \times 512$  پیکسل تبدیل می‌شوند.

## ۲-۳-۱- استخراج ویژگی

- محاسبه F-Score: F-Score هر ویژگی را طبق معادله (۵) محاسبه کنید.
  - تعیین آستانه: به صورت زیر، تعدادی آستانه برای قطع کردن مقادیر F-Score بالا و پایین تعیین کنید:
  - الف- مرتب‌سازی: ابتدا مجموعه مقادیر F-Score را به صورت نزولی مرتب کنید.
  - ب- مقیاس‌بندی: مقادیر F-Score مرتب شده را با توجه به تعداد مجموعه F-Score، مقیاس‌بندی کنید. شکل (۲)، نمودار نمونه مقادیر F-Score ویژگی‌های بدست آمده از روش پیشنهادی که به ترتیب نزولی مرتب و مقیاس‌بندی شده است را نشان می‌دهد.
  - ج- محاسبه گرادیان: گرادیان مقادیر F-Score مقیاس‌بندی شده را نسبت به تعداد مجموعه F-Score مرتب شده محاسبه کنید. رابطه (۸) معادله گرادیان را نشان می‌دهد.
- $$\nabla(F - Score) = \frac{\partial(F - Score)}{\partial(x)} \quad (8)$$
- که  $\nabla(F - Score)$  مقدار گرادیان عددی یک بعدی بردار مقادیر F-Score مقیاس‌بندی شده را در جهت محور  $x$  نشان می‌دهد. محور  $x$ ، تعداد مجموعه F-Score مرتب شده است.

- د- جداسازی: هر مقدار F-Score را که گرادیان آن بزرگتر از منفی یک است، به ترتیب جدا کنید.
- ه- تعیین آستانه: به ازای تعداد مقادیر F-Score که گرادیان آنها بزرگتر از منفی یک است، آستانه تعیین کنید. به منظور اینکه تعداد آستانه‌ها خیلی زیاد نشود، کران بالایی برابر با یک ششم از تعداد مقادیر F-Score را برای تعداد آستانه‌ها انتخاب کنید.
- بکارگیری ماشین بردار پشتیبان برای هر آستانه: برای هر آستانه، مراحل زیر اجرا می‌شوند:
- الف- تعدادی از ویژگی‌ها را دور بریزید: ویژگی‌های با مقدار F-Score زیر این آستانه را دور بریزید.
- ب- داده‌های آموزشی را تقسیم کنید: داده‌های آموزشی را به  $U_{train}$  و  $U_{valid}$  با نسبت سه به دو تقسیم کنید.



شکل (۲): نمودار نمونه مقادیر F-Score ویژگی‌های بدست آمده از روش پیشنهادی که به ترتیب نزولی مرتب شده و مقیاس‌بندی شده است.

تبدیل موجک هار سه سطحی بر روی تصویر اعمال می‌شود. تصویر اصلی نیز به عنوان زیرباند LLO در نظر گرفته می‌شود. از هر زیرباند، چهار هیستوگرام مرتبه دوم با چهار جدایی ذکر شده در معادله (۶) ساخته می‌شود.

$$(\rho, \theta) = \left\{ (1, 0), (1, -\frac{\pi}{2}), (1, -\frac{\pi}{4}), (1, +\frac{\pi}{4}) \right\} \quad (6)$$

که به ترتیب هیستوگرام مرتبه دوم افقی، عمودی، قطری و قطری آینه‌ای نامیده می‌شوند. این جدایی‌ها در شکل (۱) به ترتیب با زوج‌های  $(x,b), (x,a), (x,c), (x,d)$  مشخص می‌شوند.

در روش پیشنهادی، بعد از بکاربردن DFT دو بعدی بر روی تمامی هیستوگرام‌های مرتبه دوم هر زیرباند و بدست آوردن تابع مشخصه دو بعدی آنها، سه مرتبه اول (مراتب اول، دوم و سوم) از دو نوع گشتاور حاشیه‌ای تابع مشخصه در دو جهت فرکانسی از هر هیستوگرام مرتبه دوم استخراج می‌شوند. با توجه به اینکه چهار هیستوگرام مرتبه دوم برای هر زیرباند محاسبه می‌شوند و از هر هیستوگرام مرتبه دوم شش گشتاور حاشیه‌ای تابع مشخصه محاسبه می‌شوند، بردار ویژگی بدست آمده برای هر زیرباند دارای ۲۴ بعد است. در نتیجه یک بردار ویژگی ۳۱۲ بعدی حاصل می‌شود که می‌تواند برای دسته‌بندی به یک دسته‌بندی‌کننده داده شود.

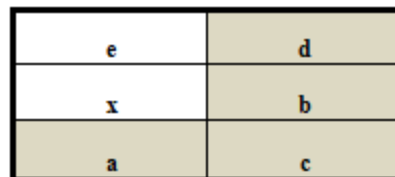
## ۲-۳-۲- انتخاب ویژگی

همانگونه که مشاهده می‌شود ابعاد ویژگی زیاد است و قطعاً تعداد زیادی از این ویژگی‌ها برای پنهان‌شکنی مطلوب نیستند. چنانچه همه ویژگی‌ها را به دسته‌بندی‌کننده ماشین بردار پشتیبان اعمال کنیم باعث کاهش عملکرد این دسته‌بندی‌کننده خواهد شد [15]. بنابر این برای اینکه تعداد ابعاد بردار ویژگی را کاهش دهیم از الگوریتم انتخاب ویژگی SVM + F-Score [3] تغییر یافته، استفاده می‌کنیم. در نهایت ویژگی‌های انتخاب شده برای تشخیص تصاویر پنهان‌نگاری شده از تصاویر پاک، به یک دسته‌بندی‌کننده ماشین بردار پشتیبان داده می‌شوند. هنگام استفاده از ماشین بردار پشتیبان، کرنل تابع پایه شعاعی بکار رفته است. رابطه (۷)، تعریف کرنل تابع پایه‌ای شعاعی را نشان می‌دهد.

$$k(x_i, x_j) = e^{-\gamma \|x_i - x_j\|^2} \quad (7)$$

که  $\gamma = 1/2\sigma^2$  و  $\sigma$  پارامتر کرنل می‌باشد که عددی طبیعی و مثبت است.

فرآیند اجرای الگوریتم SVM + F-Score در روش پیشنهادی، به صورت زیر خلاصه می‌شود:



شکل (۱): همسایگان پیکسل  $x$  در جهت‌های افقی (b)، عمودی (a)، قطری (c) و قطری آینه‌ای (d)

(۹)،  $cumsum$  مجموع تجمعی در امتداد ابعاد مختلف یک آرایه را محاسبه می کند [9].

با بررسی این جدول‌ها مشخص می‌شود که تحقیقات ما منجر به معرفی روشی شده است که در پنهان‌شکنی از روش پنهان‌نگاری حوزه موجک خسروی و روش پنهان‌نگاری حوزه موجک معتمدی نسبت به روش پنهان‌شکنی فرید و روش پنهان‌شکنی شی بهتر عمل می‌کند. همچنین کاهش ابعاد بردار ویژگی در الگوریتم پیشنهادی منجر به نتایج بهتر می‌شود که دلیل آن این است که انتخاب ویژگی‌های با توانایی تمایز بیشتر، به عملکرد بهینه SVM کمک می‌کند.

### ۳- نتیجه

در این مقاله روشی غیر فعال، برای پنهان‌شکنی از تصاویر پنهان‌نگاری شده در حوزه تبدیل موجک با نرخ آشکارسازی بالاتر ارائه شد. در این الگوریتم ویژگی‌های استفاده شده شامل گشتاورهای تابع مشخصه هیستوگرام‌های مرتبه دوم افقی، عمودی، قطری و قطری آینه‌ای حاصل از تصویر و زیرباند‌های تجزیه موجک سه سطحی تصویر است. در این روش بوسیله الگوریتم انتخاب ویژگی SVM + F-Score تغییر یافته، تعداد ویژگی‌ها کاهش یافته و ویژگی‌های باقیمانده برای دسته بندی به ماشین بردار پشتیبان داده شدند تا تصاویر گنجانده را از تصاویر پوشانه تشخیص دهد.

در الگوریتم SVM + F-Score تغییر یافته، هنگام تقسیم داده‌های آموزشی، تعداد داده‌های  $U_{train}$  زیاد است و انتخاب تعداد داده‌های  $U_{train}$  و  $U_{valid}$ ، به صورت تصادفی انجام نمی‌شود. در نتیجه ماشین بردار پشتیبان می‌تواند به درستی آموزش ببیند، لذا دقت عملیات بی‌جهت کاهش نمی‌یابد و این می‌تواند برتری روش SVM + F-Score تغییر یافته نسبت به روش اصلی باشد.

روش پیشنهاد شده برای پنهان‌شکنی از دو روش پنهان‌نگاری در حوزه موجک جدید بکار گرفته شد. این الگوریتم، نسبت به الگوریتم‌های پنهان‌شکنی موجود، تعداد هیستوگرام‌های مرتبه دوم بیشتری از ضرایب زیرباند‌های موجک مجاور را استفاده می‌کند. همچنین الگوریتم انتخاب ویژگی F-Score + SVM باعث می‌شود ویژگی‌های با توانایی تمایز بیشتر انتخاب شوند. در نتیجه انتظار می‌رود نرخ آشکارسازی افزایش یابد. نتایج آزمایش‌ها نشان می‌دهند که روش پیشنهادی نسبت به روش پنهان‌شکنی بر مبنای موجک فرید و روش پنهان‌شکنی بر مبنای موجک شی، در پنهان‌شکنی از روش پنهان‌نگاری حوزه موجک خسروی و روش پنهان‌نگاری حوزه موجک معتمدی بهتر عمل می‌کند و نرخ آشکارسازی را افزایش می‌دهد. در نتیجه روش پیشنهادی می‌تواند گزینه مناسبی برای پنهان‌شکنی از تصاویر پنهان‌نگاری شده در حوزه موجک باشد.



شکل (۳): تصویر Jet-F16 به عنوان پیام مخفی

ج- بکارگیری ماشین بردار پشتیبان برای هر آستانه:  $U_{train}$  را به عنوان یک مجموعه آموزشی جدید در نظر بگیرید. با توجه به اینکه پارامتر کرنل  $\sigma$  باید عدد صحیح مثبتی باشد، اعداد یک تا ۱۰۰ را به عنوان لیست پارامترها انتخاب کنید. به ازای هر پارامتر  $\sigma$ ، ماشین بردار پشتیبان را برای بدست آوردن یک پیش‌بینی کننده بکار ببرید؛ هر پیش‌بینی کننده را برای پیش‌بینی  $U_{valid}$  استفاده کنید. پارامتری که منجر به بالاترین نرخ پیش‌بینی درست می‌شود را یادداشت کنید. انتخاب آستانه: آستانه با کمترین خطای پیش‌بینی را انتخاب کنید.

دسته بندی: ویژگی‌های با مقدار F-Score زیر آستانه انتخاب شده را دور بریزید. سپس پارامتر کرنل  $\sigma$  بدست آمده متناظر با آستانه با کمترین خطا را به عنوان پارامتر پیش‌بینی کننده SVM برای پیش‌بینی داده‌های آزمایش، بکار ببرید.

### ۲-۴- نتایج آزمایش‌ها

محیط آزمایش‌ها، مطلب نسخه 7.13.0.564 است. آزمایش‌ها بر روی ۱۳۰۰ تصویر از پایگاه داده تصاویر رنگی غیر فشرده (UCID) انجام می‌گیرد. تصویر Jet-F16 که در شکل (۳) نشان داده شده است، به عنوان پیام مخفی در نظر گرفته می‌شود. ۶۵۰ عدد از تصاویر، یک بار توسط روش پنهان‌نگاری خسروی [7] و بار دیگر توسط روش پنهان‌نگاری معتمدی [9]، مخفی می‌شوند. هر دو روش پنهان‌نگاری در حوزه تبدیل موجک هستند. ۶۵۰ عدد تصویر باقیمانده به عنوان تصاویر پوشانه در نظر گرفته می‌شوند.

نتایج پنهان‌شکنی از دو روش‌های پنهان‌نگاری مورد آزمایش در جدول‌های (۱) و (۲) جدول بندی می‌شوند. در این جدول‌ها، نتایج روش پنهان‌شکنی پیشنهاد شده، با نتایج روش پنهان‌شکنی شی که بر روی روش پنهان‌نگاری خسروی آزمایش شده است [7] و همچنین با نتایج روش پنهان‌شکنی فرید که بر روی هر دو روش پنهان‌نگاری آزمایش شده است [7,9]، مورد مقایسه قرار می‌گیرند. همچنین برای مشاهده لزوم کاهش ابعاد بردار ویژگی در الگوریتم پیشنهادی، نتایج روش پیشنهادی با نتایج حالت روش پیشنهادی بدون کاهش ابعاد بردار ویژگی مقایسه می‌شود. در جدول‌های (۱) و (۲) پارامتر  $\sigma$ ، پارامتری از کرنل تابع پایه‌ای شعاعی از ماشین بردار پشتیبان است که نرخ آشکارسازی بالاتری بدست می‌آورد. در جدول (۲) پارامتر تنظیم کننده مقدار آستانه ( $\alpha$ ) طبق رابطه (۹) برای محاسبه مقدار آستانه ضرایب موجک (T) جهت تعیین اجزاء نویزی استفاده می‌شود که به طور مستقیم بر ظرفیت پنهان‌نگاری تأثیر می‌گذارد [9].

$$T = \min(\min(2(\frac{\text{median}(|c|)}{0.6745})^2 t(\alpha + \log(n_c / t)) - \text{cumsum}(|c_d(t)|^2), \max(|c_{fs}|))) \quad (9)$$

که  $c$  ضرایب جزئی تبدیل موجک،  $n_c$  تعداد همه ضرایب موجک،  $C_{fs}$  مقدار همه ضرایب موجک،  $C_d$  مقدار ضرایب موجک صعودی،  $t = 1 : \dots : n_{cd}$  تعداد ضرایب موجک در  $C_d$  می‌باشند. در رابطه

جدول (۱): نتایج پنهان‌شکنی روش‌های پیشنهاد شده، شی و فرید که بر روی روش پنهان‌نگاری خسروی آزمایش شده‌اند.

اندازه تصویر پیام		۶۴×۶۴	۱۲۸×۱۲۸	۲۵۶×۲۵۶		
۷۷,۳۳	۷۸,۳۳	۹۲,۳۳			نرخ آشکارسازی (%)	روش پیشنهادی
۵	۳	۵			$\sigma$ - پارامتر کرنل SVM	
۹۰	۴۰	۱۶۷			تعداد ویژگی‌ها	
۷۰,۶۷	۷۵,۶۷	۹۲			نرخ آشکارسازی (%)	روش پیشنهادی بدون کاهش ابعاد و ویژگی
۱۸	۲۳	۱۱			$\sigma$ - پارامتر کرنل SVM	
۳۱۲	۳۱۲	۳۱۲			تعداد ویژگی‌ها	
۶۰,۶۷	۶۷,۱۱	۸۳,۱۳			نرخ آشکارسازی (%) [7]	روش شی
۷۸	۷۸	۷۸			تعداد ویژگی‌ها	
۵۴,۴۷	۵۸,۰۵	۷۹,۱			نرخ آشکارسازی (%) [7]	روش فرید
۲۴	۲۴	۲۴			تعداد ویژگی‌ها	

جدول (۲): نتایج پنهان‌شکنی روش پیشنهاد شده و روش فرید، که بر روی روش پنهان‌نگاری معتمدی آزمایش شده‌اند.

پارامتر تنظیم کننده مقدار آستانه ( $\alpha$ )		۱	۲	۳		
۰,۶۱	۱	۲	۳		نرخ آشکارسازی (%)	روش پیشنهادی
۷۷,۶۷	۹۶,۶۷	۹۷,۶۷	۹۸,۶۷		$\sigma$ - پارامتر کرنل SVM	
۴	۲	۹	۲		تعداد ویژگی‌ها	
۱۰,۷	۷۸	۱۴۹	۹۰		نرخ آشکارسازی (%)	روش پیشنهادی بدون کاهش ابعاد و ویژگی
۷۰,۳۳	۹۶	۹۷	۹۸,۶۷		$\sigma$ - پارامتر کرنل SVM	
۱۵	۲۶	۳۲	۳۲		تعداد ویژگی‌ها	
۳۱۲	۳۱۲	۳۱۲	۳۱۲		نرخ آشکارسازی (%) [9]	روش فرید
	$\alpha=۱,۲$ برای ۵۱				تعداد ویژگی‌ها	
	۲۴					

## مراجع

- [8] Leon-Garcia, A., *Probability and Random Processes for Electrical Engineering*, 2nd ed. , Reading, MA: Addison-Wesley Publishing Company, 1994.
- [9] Motamedi, H., Jafari, A., "A new image steganography based on denoising methods in wavelet domain", 9th International Conference on Information Security and Cryptology (ISC), pp. 18-25, 2012.
- [10] Pratt, W. K., *Digital Image Processing*, 3rd ed. , John Wiley & Sons, New York, USA, 2001.
- [11] Shi, Y. Q., et al. , "Image steganalysis based on moments of characteristic functions using wavelet decomposition, prediction-error image, and neural network", in Proc. IEEE International Conference on Multimedia and Expo (ICME), Amsterdam, Netherlands, pp. 269-272, 2005.
- [12] Trivedi, S., Chandramouli, R., "Active steganalysis of sequential steganography," SPIE Conference, California, vol. 5020, pp. 123-130, 2003.
- [13] Yang, B. and Deng, B., "Steganography in gray images using wavelet", in Proceedings of ISCCSP, 2006.
- [14] Zong, H., Liu, F., Luo, X., "A wavelet-based blind JPEG image steganalysis using co-occurrence matrix", 11th International Conference on Advanced Communication Technology (ICACT), vol. 3, pp. 1933 - 1936, February 2009.
- [15] Zhang, X., Zhong, S. P., "Blind steganalysis method for BMP images based on statistical MWCF and F-score method", International Conference on Wavelet Analysis and Pattern Recognition, pp. 442-447, Baoding, July 2009.
- [1] Bhattacharyya, S., Banerjee, I., Sanyal, G., "A survey of steganography and steganalysis technique in image, text, audio and video as cover carrier", Journal of Global Research in Computer Science, vol. 2 , Issue 4, pp. 1-16, April 2011.
- [2] Chen, C., Shi, Y. Q., Chen, W., Xuan, G., "Statistical moments based universal steganalysis using JPEG 2-D array and 2-D characteristic function", in Proc. of International Conference on Image Processing (ICIP), Atlanta, GA, USA, pp. 105-108, Oct. 2006.
- [3] Chen, Y. W., Lin, C. J., "Combining SVMs with various feature selection strategies", Feature Extraction, Foundations and Applications, Studies in Fuzziness and Soft Computing, Springer-Verlag, vol. 207, pp 315-324, 2006.
- [4] Din, R., Samsudin, A., "Digital steganalysis: computational intelligence approach," International Journal of Computers, vol. 3, Issue 1, pp. 161-170, 2009.
- [5] Farid, H., "Detecting hidden messages using higher-order statistical models", in International Conference on Image Processing, Rochester, New York, USA, vol. 2, pp. 905-908, 2002 .
- [6] Farid, H. and Lyu, S., "Detecting Hidden Messages Using Higher-Order Statistics and Support Vector Machines", in: F.A.P. Petitcolas (ed.): Information Hiding. 5 th International Workshop. Lecture Notes in Computer Science, vol. 2578, Springer-Verlag New York, pp. 340-354, 2002.
- [7] Khosravi, M. J., Ghandali, S., "A secure joint wavelet based steganography and secret sharing method", 7th International Conference on Information Assurance and Security (IAS), pp. 222-227, 2011.

## زیر نویس‌ها

<sup>1</sup> Steganography

<sup>2</sup> Steganalysis